

**ИССЛЕДОВАНИЕ ТУННЕЛИРОВАНИЯ ЭЛЕКТРОНОВ
В МОП СТРУКТУРАХ В ОБЛАСТИ ПЕРЕХОДА
ОТ ТРАПЕЦИДАЛЬНОГО БАРЬЕРА К ТРЕУГОЛЬНОМУ**

Охонин С. А., Погосов А. Г., Французов А. А.

Исследованы зависимости логарифмической производной туннельного тока от напряжения, приложенного к МОП структуре, и проведен соответствующий численный расчет, результаты которого согласуются с экспериментом. По положению максимума на зависимости логарифмической производной тока от напряжения определена величина изгиба зон, которая согласуется с результатом расчета, учитывающего размерное квантование носителей.

На зависимости логарифмической производной туннельного тока от напряжения, приложенного к структуре металл—диэлектрик—металл, наблюдается максимум при напряжении, равном высоте барьера на границе металл—диэлектрик, и это может быть использовано для измерения высоты барьера [1]. При применении этого метода для определения высоты барьера полупроводник—диэлектрик возникают трудности с интерпретацией результатов, связанные с тем, что, кроме высоты барьера, положение пика в этом случае зависит от изгиба зон в полупроводнике. По-видимому, по этой причине, несмотря на большое количество работ по туннелированию в структурах металл—окисел—кремний, отсутствуют исследования в области пика логарифмической производной тока.

В нашей предыдущей работе [2] был произведен расчет изгиба зон и других параметров ОПЗ в слоях сильного обогащения на *p*-кремнии с учетом квантовых размерных эффектов в ОПЗ. Представляет интерес сравнить результаты этого расчета с результатами измерений туннельных токов.

На рис. 1 приведена зонная диаграмма МДП структуры с полупроводником *p*-типа при обогащающем смещении на металлическом электроде. В этом случае электроны туннелируют из металла в полупроводник, причем основной вклад в туннельный ток дают носители вблизи уровня Ферми металла [3]. Из рис. 1 видно, что по мере увеличения смещения, приложенного к МДП структуре, туннелирование через трапецидальный барьер сменяется туннелированием через барьер треугольной формы. Напряжение смещения V_{GM} на рис. 1 соответствует этому моменту. Согласно [1], зависимость логарифмической производной туннельного тока по напряжению $Q = d(\lg J)/dV_G$ от V_G имеет максимум при $V_G = V_{GM}$. Это связано с тем, что при изменении напряжения смещения в случае трапецидального барьера изменяется только средняя высота барьера, а в случае треугольного — еще и туннельная длина. Зная напряжение V_{GM} , можно найти величину изгиба зон Ψ_s при данном $V_G = V_{GM}$. Из рис. 1 видно, что

$$\xi = V_{GM} - \Phi_1 - E_g. \quad (1)$$

Здесь $\xi = \Psi_s - \Psi_b$, где Ψ_b — положение уровня Ферми в объеме полупроводника, Φ_1 — высота барьера на границе диэлектрик—полупроводник, а E_g — ширина запрещенной зоны полупроводника.

При известных значениях Φ_1 и E_g описанная процедура может быть использована как метод определения величины ξ и поверхностного изгиба зон

в полупроводнике при $V_G = V_{G.M.}$. Измерения выполнялись на МОП структурах с окислом толщиной 30 ± 50 Å. Оксисел выращивался на подложке невырожденного кремния n - или p -типа с ориентацией (100). Затем на поверхность окисла наносились контакты из Au или Cr и измерялись зависимости $\lg J (V_G)$.

Для проверки работоспособности описанного метода измерялись зависимости $\lg J (V_G)$ для МОП структур с n -кремнием при положительном смещении на металле (рис. 2). При такой полярности электроны туннелируют из полупроводника и максимум на зависимости $Q (V_G)$, как это видно из рис. 2, а, должен наблюдаться при V_G , равном высоте барьера металл—диэлектрик Φ_2 . На рис. 2, б показано, что максимумы на экспериментальных кривых $Q (V_G)$ для электродов из золота и хрома наблюдаются при разных напряжениях смещения, причем расстояние между максимумами равно 0.6 ± 0.1 В, что хорошо согласуется с разностью работ выхода (0.6 эВ) для Au и Cr. Высоты барьеров

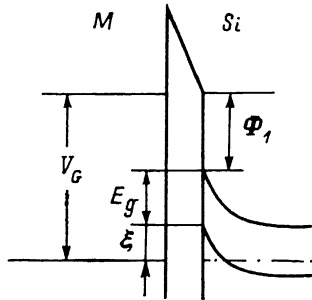


Рис. 1. Зонная диаграмма МДП структуры при отрицательном смещении на затворе.

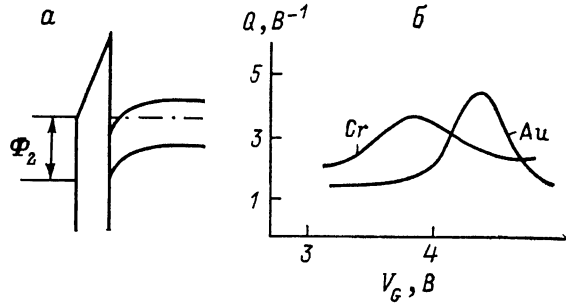


Рис. 2. Зонная диаграмма МОП структуры при положительном смещении на затворе (а) и зависимость $Q (V_G)$ для МОП структур с электродами из Au и Cr (б).

Cr-SiO_2 и Au-SiO_2 , вычисленные по положению максимумов, составляют 4.5 и 3.9 эВ и превышают значения этих величин, известные из литературы [4], на величину 0.3 эВ. Мы связываем это с падением напряжения в металле и в переходном слое на границе металл—диэлектрик [5].

Для определения описанным методом величины поверхностного изгиба зон в полупроводнике необходимо приложить отрицательное напряжение смещения к металлическому электроду (рис. 1). Зависимости $Q = d(\lg J)/dV_G$ от V_G для этого случая измерялись на МОП структурах, изготовленных на подложках p -кремния с концентрацией примеси $2 \cdot 10^{15} \text{ см}^{-3}$. В качестве материала затвора использовался Cr. На рис. 3, а показана типичная экспериментальная кривая $Q (V_G)$ для образца с толщиной окисла 36 Å (толщина окисла определялась из $C-V$ -характеристик с учетом емкости слоя объемного заряда [2]). Положение максимума на кривых для разных МОП структур лежало в пределах $V_{GM} = (5.05 \pm 0.05)$ В. Для определения величины V_{GM} был использован также второй метод, основанный на сравнении туннельных токов, измеренных при двух температурах. Как показано в [6], величина $\hat{J} = 100 [J(T_1) - J(T_2)]/J(T_2)$, где $J(T_1)$ и $J(T_2)$ — туннельные токи при температурах T_1 и T_2 соответственно, имеет максимум при V_{GM} . На рис. 2, б показаны результаты температурных измерений, которые дали $V_{GM} = 5.05$, т. е. величину, совпадающую с измеренной первым способом.

Зная величину V_{GM} , можно определить ξ , воспользовавшись соотношением (1). Для $\Phi_1 = 3.25$ эВ и $E_g = 1.12$ эВ [4] из соотношения (1) получаем $\xi = 0.68$. Для сравнения этой величины с результатом численного расчета, проведенного в [2], необходимо знать число носителей N_{SC} в ОПЗ при $V_G = V_{GM}$. Мы определяли N_{SC} из экспериментальной вольтфарадной характеристики:

$$N_{SC} = \frac{1}{q} \int_{V_{FB}}^V C(V) dV.$$

Здесь q — заряд электрона, V_{FB} — напряжение плоских зон, C — емкость МОП структуры на единицу площади. Определенная таким образом величина N_{sc} при $V_c = V_{ce}$ равнялась $2.16 \cdot 10^{13} \text{ см}^{-2}$.

При таком N_{sc} величина ξ , рассчитанная с учетом квантования [2], составляет 0.5 эВ, т. е. экспериментальное значение превышает расчетное на 0.18 эВ. Это различие, по-видимому, связано с присутствием переходного слоя на границе кремний—окисел, в результате чего барьер на этой границе изменяет свою форму.

Для количественного описания зависимости $Q(V_c)$ нами был проделан численный расчет этой зависимости. Туннельный ток рассчитывался для потенциального барьера, изображенного на вставке к рис. 3. Форма этого барьера

выбиралась с учетом наличия переходного слоя толщиной Δs на границе диэлектрик—полупроводник. Численный расчет туннелирования через этот барьер выполнялся нами на основе [3], где формула для туннельного тока получена в предположении, что основная часть

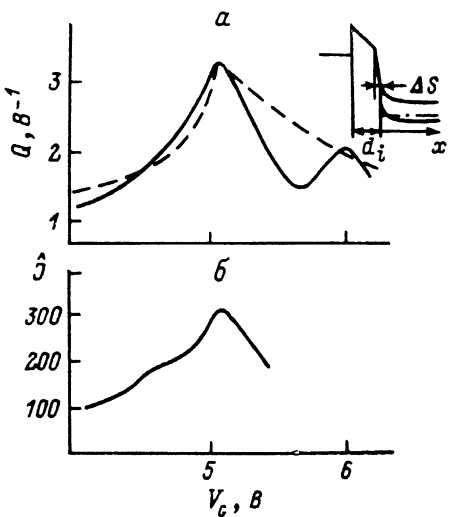


Рис. 3. Зависимость $Q(V_c)$ для образца с $d_i = 36 \text{ \AA}$ (а) и зависимость $\hat{J}(V_c)$ для того же образца (б).

а) сплошная линия — эксперимент, штриховая — расчет. б) $T_1 = 300$, $T_2 = 150 \text{ K}$.

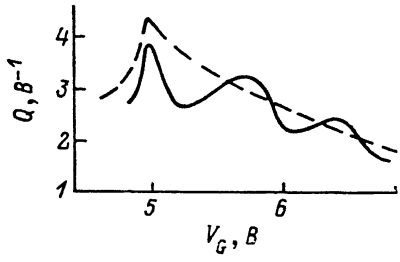


Рис. 4. Зависимость $Q(V_c)$ для образца с $d_i = 44 \text{ \AA}$.

Сплошная линия — эксперимент, штриховая — расчет.

туннелирующих электронов имеет энергию, близкую к уровню Ферми. В нашем случае эту формулу можно записать в виде

$$j = \frac{2\pi q p_{0F}}{\hbar^3} e^{-b_F} \int_0^\infty f(E) \exp[c_F(E - E_F)] dE.$$

Здесь

$$b_F = \frac{2}{\hbar} \int_0^{d_i} \bar{p} dx, \quad \frac{1}{p_{0F}^2} = \frac{1}{\hbar} \int_0^{d_i} \frac{dx}{\bar{p}}, \quad c_F = -\frac{2}{\hbar} \int_0^{d_i} \left(\frac{\partial \bar{p}}{\partial E} \right) dx,$$

где все величины рассчитываются для энергии электрона $E = E_F$; \bar{p} — модуль импульса электрона в запрещенной зоне диэлектрика; $f(E)$ — функция распределения Ферми. Формула (1) справедлива при ненулевых температурах и для произвольного закона дисперсии $\bar{p}(E)$. Нами в качестве зависимости выбирался закон Франца

$$\bar{p}(E) = (2m^*)^{1/2} E^{1/2} \left(1 - \frac{E}{E_g} \right)^{1/2},$$

где m^* — эффективная масса электрона в диэлектрике, которую для SiO_2 мы полагали равной $m^* = 0.65 m_0$ [1]; E_g — ширина запрещенной зоны SiO_2 , равная 8.1 эВ. Плотность туннельного тока j и ее логарифмическая производная $d(\lg j)/dV_i$ как функции падения напряжения V_i в диэлектрике рассчитывались для нескольких значений Δs и d_i .

Для сравнения с экспериментом необходимо рассчитать Q как функцию полного напряжения V_G , приложенного к МОП структуре. Этую функцию можно определить из полученной кривой $Q(V_i)$, если известна зависимость $V_i(V_G)$. Последняя определялась из экспериментально измеренных $C-V$ -характеристик по формуле

$$V_i = \int_{V_{FB}}^{V_G} \frac{C(V)}{C_i} dV,$$

где $C(V)$ — измеренная $C-V$ -кривая, V_{FB} — напряжение плоских зон.

Полученная таким образом расчетная зависимость $Q(V_G)$ для $d_i=36 \text{ \AA}$ изображена на рис. 3, а штриховой линией, а для случая $d_i=44 \text{ \AA}$ — на рис. 4. В обоих случаях толщина переходного слоя Δs принималась равной 2 \AA , что соответствует наилучшему согласию расчета с экспериментальными данными. Такая же толщина переходного слоя была выбрана в работе [8] для наилучшего согласования формы осцилляций на зависимости туннельного тока от напряжения, обнаруженных при $V_G > 5 \text{ В}$. Эти осцилляции связаны с интерференцией волновой функции электрона при надбарьерном отражении от границы раздела $\text{Si}-\text{SiO}_2$. Они наблюдались и в наших измерениях и с ними связано отклонение формы экспериментальных кривых рис. 3, а от расчета при $V_G > V_{GM}$, т. е. правее максимума. Более явно это различие проявляется для структур с окислом толщиной 44 \AA (рис. 4): видно, что экспериментальная кривая $Q(V_G)$ осциллирует вокруг расчетной.

Отметим, что в расчетах и при обсуждении экспериментальных результатов мы не учитывали силы изображения, действующие на туннельный электрон. В работах [9, 10] проведено квантово-механическое рассмотрение сил изображения и показано, что потенциал сил изображения существенно уменьшается по сравнению с классическим случаем. Этот результат нашел экспериментальное подтверждение в работах по фотонно-облегченному туннелированию [10, 11].

Таким образом, в настоящей работе исследованы экспериментальные зависимости $d(\lg J)/dV_G$ от V_G для туннельных токов в МОП структурах в области перехода от трапецoidalного барьера к треугольному и проведен соответствующий численный расчет, результаты которого согласуются с экспериментальными данными. Величина поверхностного изгиба зон, найденная по положению максимума на зависимости $d(\lg J)/dV_G$ от V_G , согласуется с величиной, рассчитанной в [2] в предположении, что на границе $\text{Si}-\text{SiO}_2$ имеется переходный слой толщиной 2 \AA .

Авторы благодарны А. А. Кремаренко и Р. А. Соколову за изготовление МОП структур.

Л и т е р а т у р а

- [1] Чопра К. Л. Электрические явления в тонких пленках. М., 1972. 300 с.
- [2] Frantsuzov A. A., Okhonin S. A., Pogosov A. G. — Phys. St. Sol. (b), 1986, v. 136, N 1, p. 241—249.
- [3] Стрэттон Р. — В кн.: Туннельные явления в твердых телах. М., 1973, с. 106—124.
- [4] Зи С. Физика полупроводниковых приборов. М., 1984. 455 с.
- [5] Simmonds J. G. — Phys. Lett., 1965, v. 17, N 1, p. 104.
- [6] Симмонс Дж. Г. — В кн.: Технология тонких пленок. М., 1973, т. 2, с. 364—367.
- [7] Kovchavtsev A. P. — ФТТ, 1979, т. 21, в. 10, с. 3055—3060.
- [8] Maserjian J., Zamani N. — J. Appl. Phys., 1982, v. 53, N 1, p. 559—567.
- [9] Harstein A., Weinberg Z. A. — J. Phys. C: Sol. St. Phys., 1978, v. 11, N 1, p. L469—L473.
- [10] Harstein A., Weinberg Z. A. — Phys. Rev. B, 1979, v. 20, N 4, p. 1335—1338.
- [11] Weinberg Z. A., Harstein A. — J. Appl. Phys., 1983, v. 54, N 5, p. 2517—2521.